

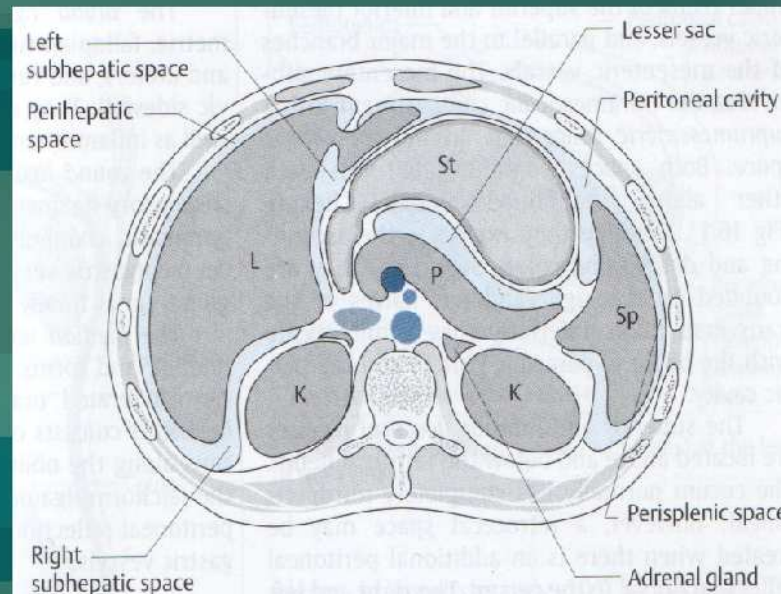
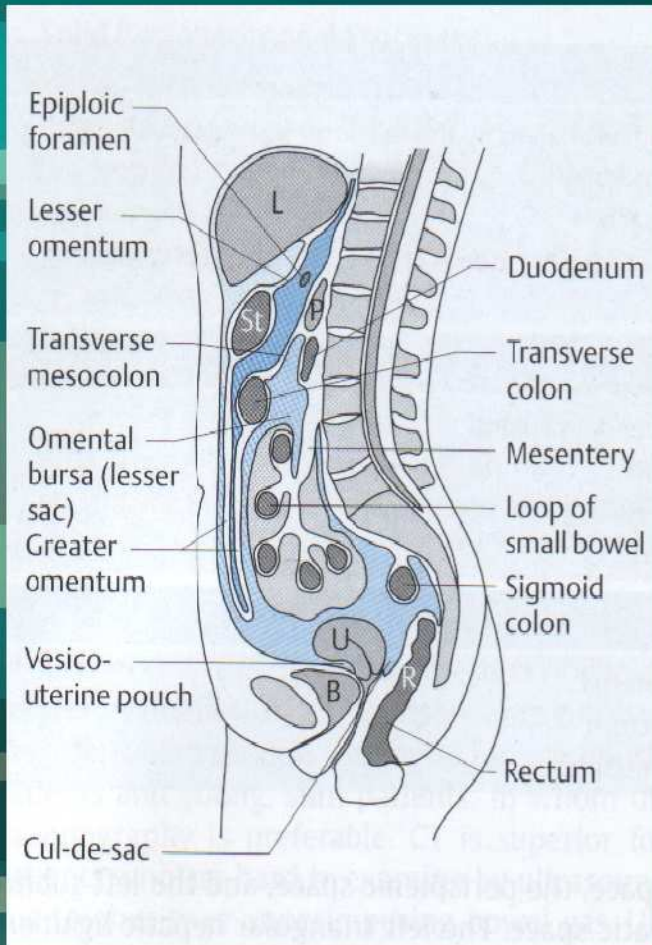
Peritoneaalne kartsinomatoos

Maria Ehte, Jelena Gavrilkina
SA PERH
2007

Definitsioon

- Peritoneaalne kartsinomatoos on tuumori metastaatiline levik kõhuõõnes
 - Peritoneaalpind
 - Peritonealsed ligamendid
 - Rasvik
 - Mesenteerium
- Haiguse IV stadium

Peritoneeumi anatoomia



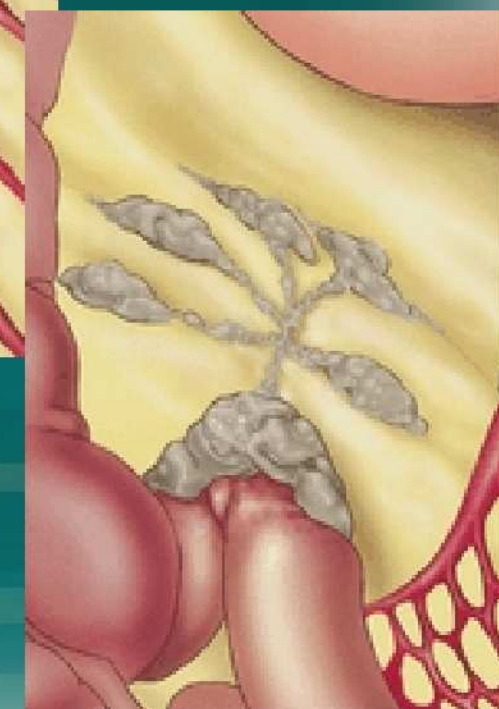
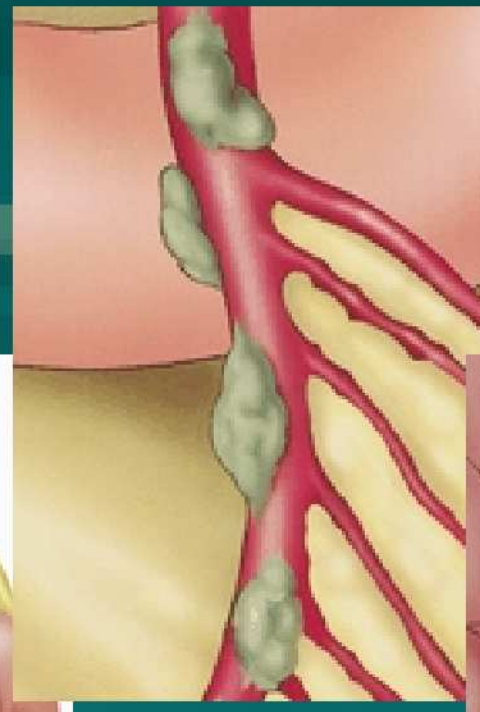
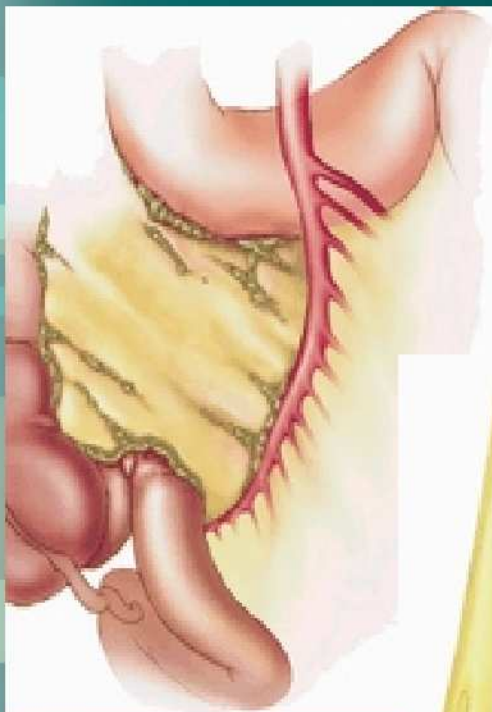
Peritoneaalse kartsinomatoosi tunnused

- Astsiit
- Mesenteriaalsed muutused
 - Lümfisõlmede suurenemine
 - Mesenteriaalsete lestmete paksenemine
 - Mesenteeriumi deformatsioon
- Mikrosõlmed peritoneaalpinnal
- Suure rasviku paksenemine
 - *Omental cake*

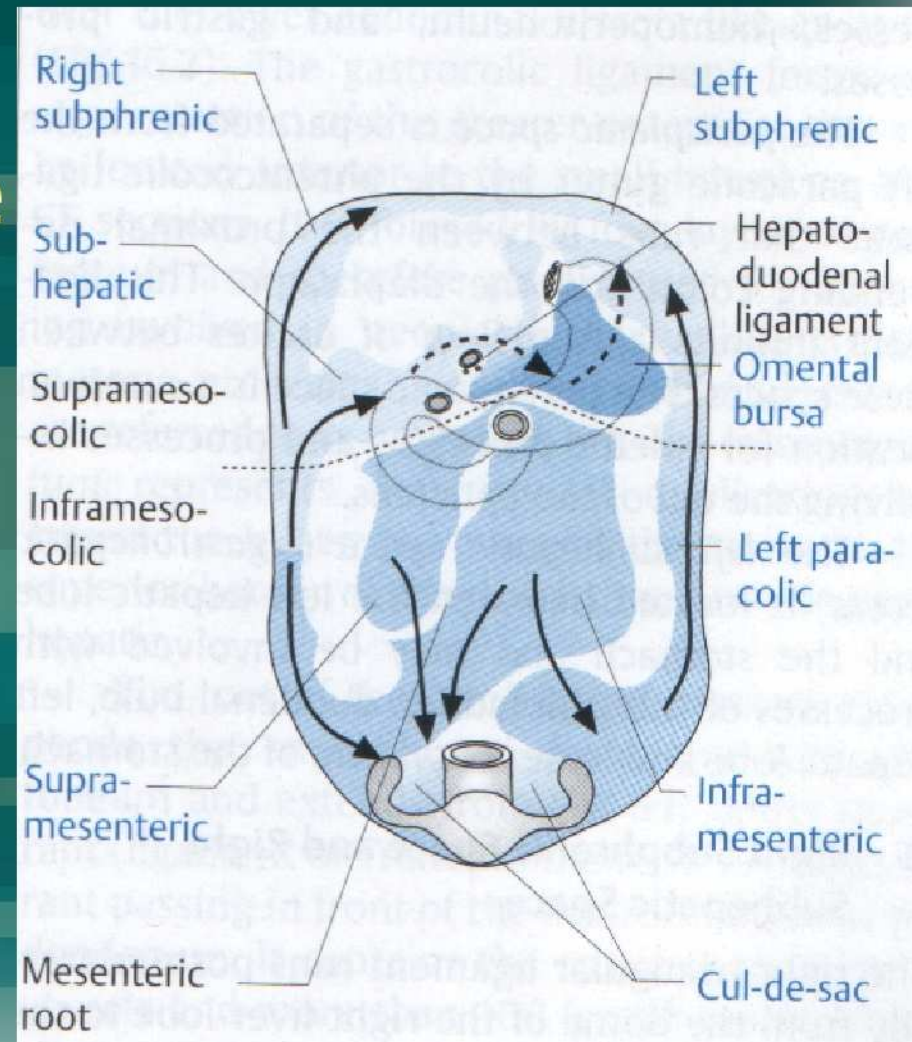
Metastaatilise külvi levikuteed

- Otsene levik mööda mesenteriaalseid veresooni ja rasvkudet
 - Kartsinoid, pankreas, jämesool
- Lümfogeenne levikutee
 - Lümfoom, epiteliaalsed tuumorid
- Hematogeenne levikutee
 - Rinnanääre, melanoom
- Peritoneaalne külv
 - Munasarjad, GI, lümfoom

Kartsinomatoosi levikuteed



Disseminatsioon
toimub vastavalt
astsiidi vedeliku
voolele, on sarnane
peritoneaalsete
abstsesside
levikuga



Peritoneaalse kartsinomatoosi põhjused

Geneetika

- Kolorektaalne ja ovariaalne Ca seoses Lynch II sündroomiga (pärilik mittepolüpoosne kolorektaalne Ca)
- GI ja ovariaalne Ca seoses Lynch sündroomiga
- GI Ca seoses polüpoosse sündroomiga

Peritoneaalse kartsinomatoosi põhjused

Sagedasemad põhused

- Munasarjad
- Jämesool
- Magu
- Kõhunääre

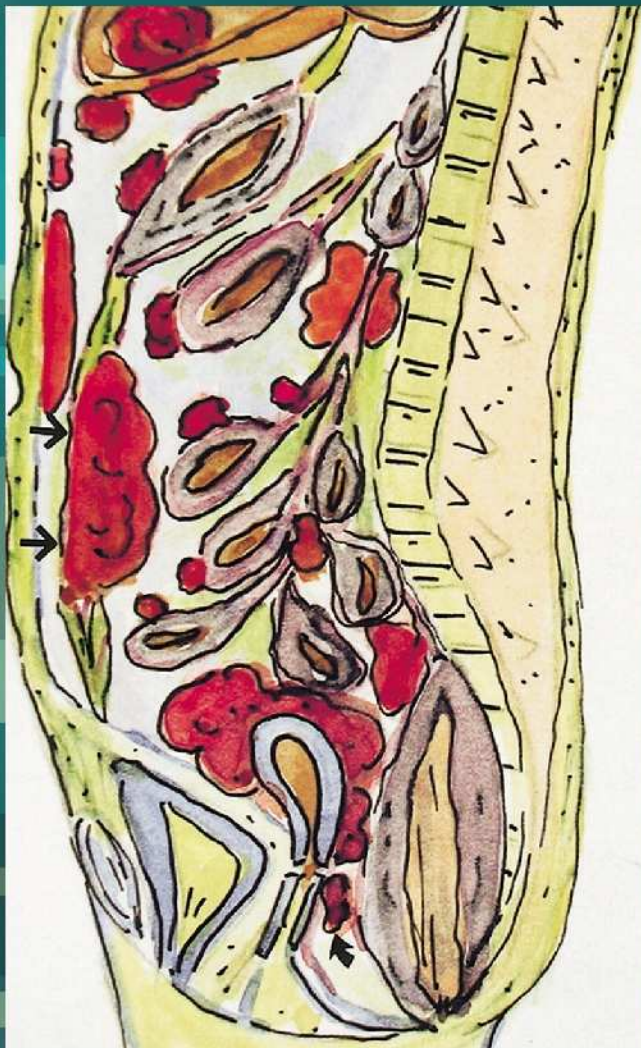
Harvem

- Kopsud, rinnanääärmed, neerud, sarkoom, lümfoom

Külvi lokalisatsioon

- *Cavum Douglas* – 50%
- Ileotsökaalpiirkond – 40%
 - Distaalne iileum
 - *Coecumi* mediaalne sein
- Sigmasoole ülemine osa – 20%
- Üleneva käärsoole piirkond – 20%

Peritoneaalse kulvi peamised kohad



Hanbidge, A. E. et al. Radiographics 2003;23:663-685

RadioGraphics

Külvi lokalisatsioon

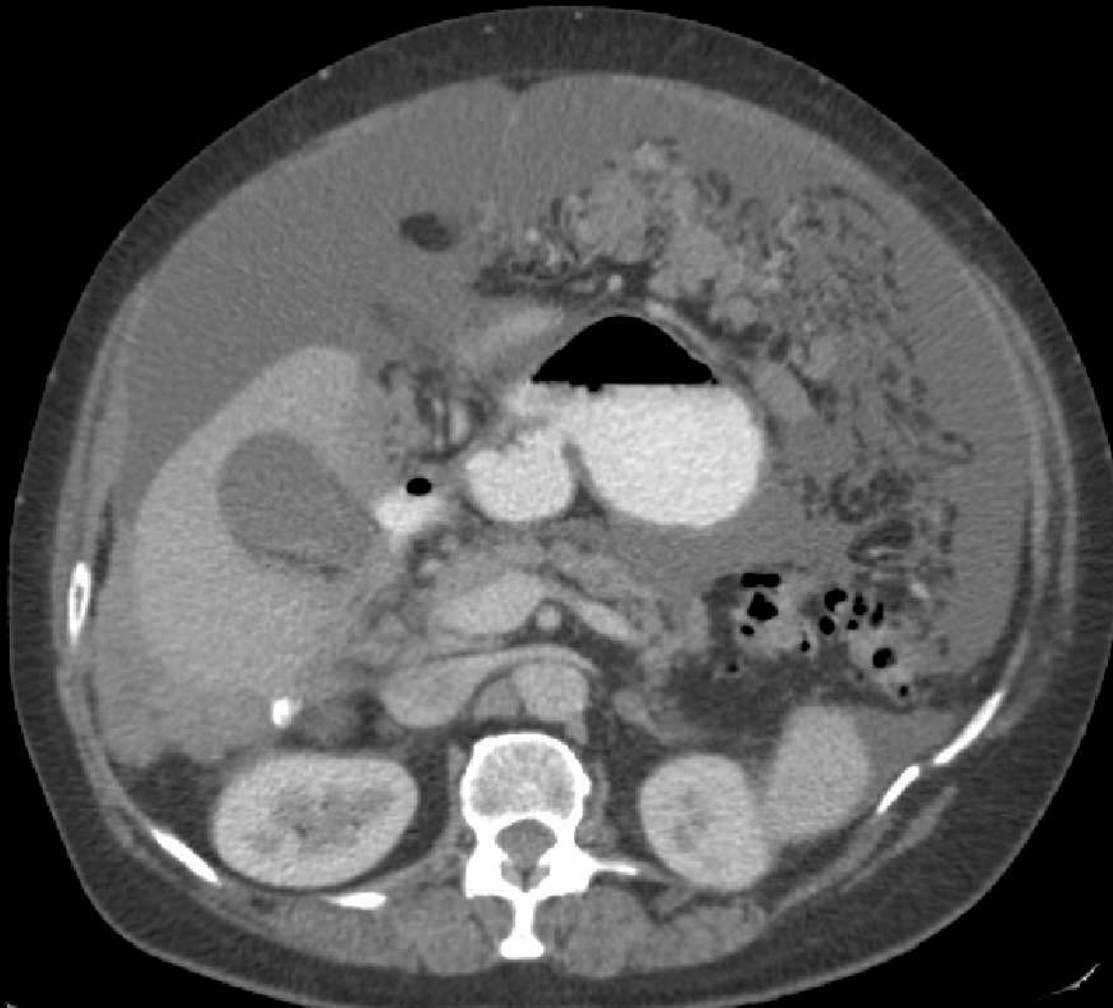
- Sõlmed paremal subdiafragmaalsel ja
lig. falciforme piirkonnas - munasarja Ca
 - Levik lümfiteede kaudu + otsene intraperitoneaalne külv
 - Harvem ülemise käärsoole piirkonnas ja Morrison`i taskus
 - Võimalik kaltsifitseerumine
 - Munasarja mutsinoosne vähk

Sõlmed paremal subdiafragmaalse sel



SA PERH

Sõlmed paremal subdiafragmaalse



SA PERH

Külvi lokalisatsioon

- Krukenbergi metastaaasid – mts-id munasarjadesse
 - Tsüstjad või pehmekoelised, kaasnevad massiivse astsiidiga
 - Mao tuumor või harvem jämesoole mutsinoosne adenokartsinoom

Krukenbergi metastaa sid



SA PERH

Külvi lokalisatsioon

- Naba piirkond – nn õde Mary Joseph`i sõlmed
 - Magu, munasarjad, jämesool, kõhunääre

Sõlmed naba piirkonnas

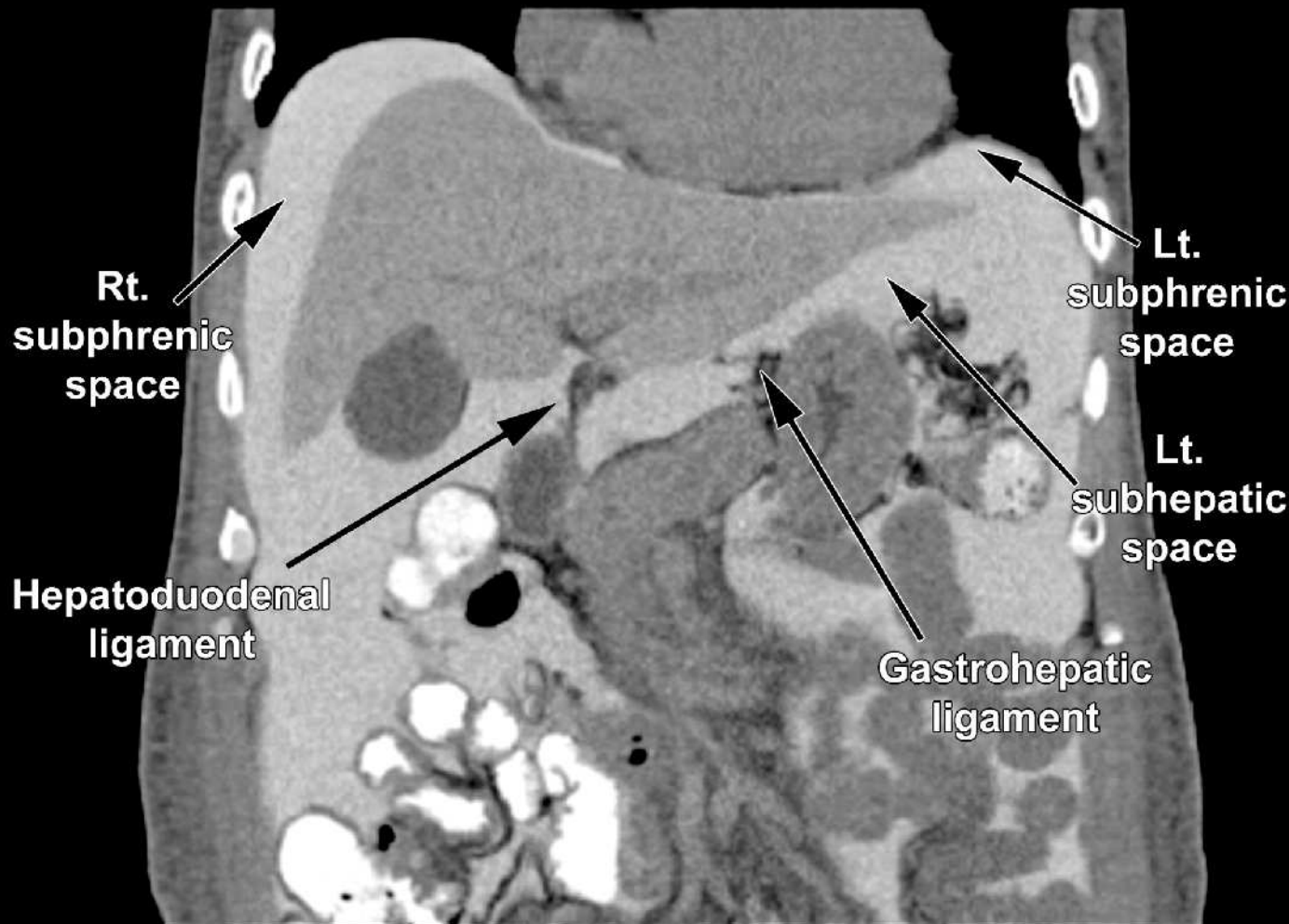


SA PERH

Regionaalne lümfadenopaatia

- Retrokruraalsed sõlmed > 6 mm
 - Kopsu mesotelioom, kartsinoom, lümfoom
- *Lig. gastrohepatica* sõlmed > 8 mm
 - Mao väike kõverik, distaalne söögitoru, lümfoom, pankreas, melanoom, jämesool, rinnanääre
- Sõlmed maksa väratis > 6 mm
 - Sapipõis, sapiteed, maks, magu, pankreas, jämesool, kops, rinnanääre

Peritoneaalruumid ja ligamendid



Kim, S. et al. Radiographics 2007;27:129-143

RadioGraphics

Regionaalne lümfadenopaatia

- Pankreatoduodenalsed sõlmed > 10 mm
 - Lümfoom, pankrease pea, jämesool, magu, kops, rinnanääre
- Sõlmed põrna ümbruses > 10 mm
 - NHL, leukeemia, peensool, munasarjad, jämesool

Regionaalne lümfadenopaatia

- *Truncus coeliacus ja a. mes. sup.* sõlmed
 >10 mm
 - Intraabdominaalne protsess
- Retroperitoneaalsed sõlmed >10 mm
 - Lümfoom, neerud, munandid, eesnääre
- Sõlmed väikeses vaagnas >15 mm
 - Kusepõis, eesnääre, emakakael, emakas,
rectum

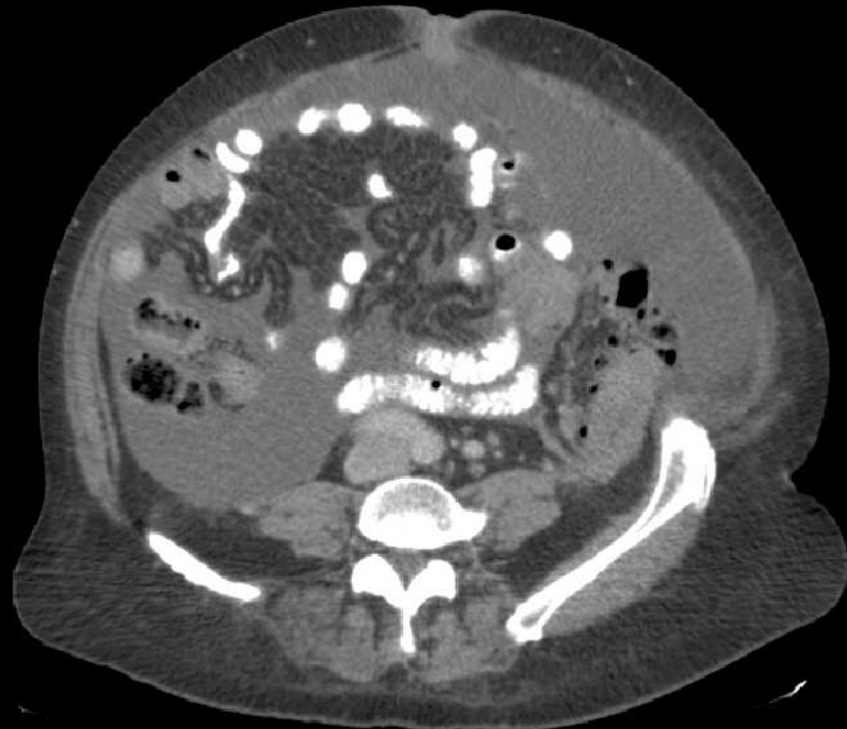
Mesenteriaalsed lümfisõlmed

- Arvukalt >100 lümfisõlme
- Mõõtmetelt normis < 1 cm
- Lokaliseeruvad mesenteriaalsete veresoonte kulgu mööda ja sooleseina läheduses
- KT uuring ei ole spetsiifiline metastaatiliste lümfisõlmede suhtes
- MR lümfangiograafia - Ferumoxtran-101 - T2 ja Gradient kujutisel metastaatilised lümfisõlmed tõusnud signaalintensiivsusega

Mesenteeriaalsed muutused

- Massiivne metastaseerumine kõhuõõnde kaasneb tavaliselt desmoplastilise reaktsiooniga
- Mesenteriaalrasva tihenemine, retikulonodulaarne joonis
- Mesenteriaalsete veresoonte paksenemine astsiidi tõttu
- Mesenteeriumi deformatsioon

Mesenteeriumi muutused



SA PERH

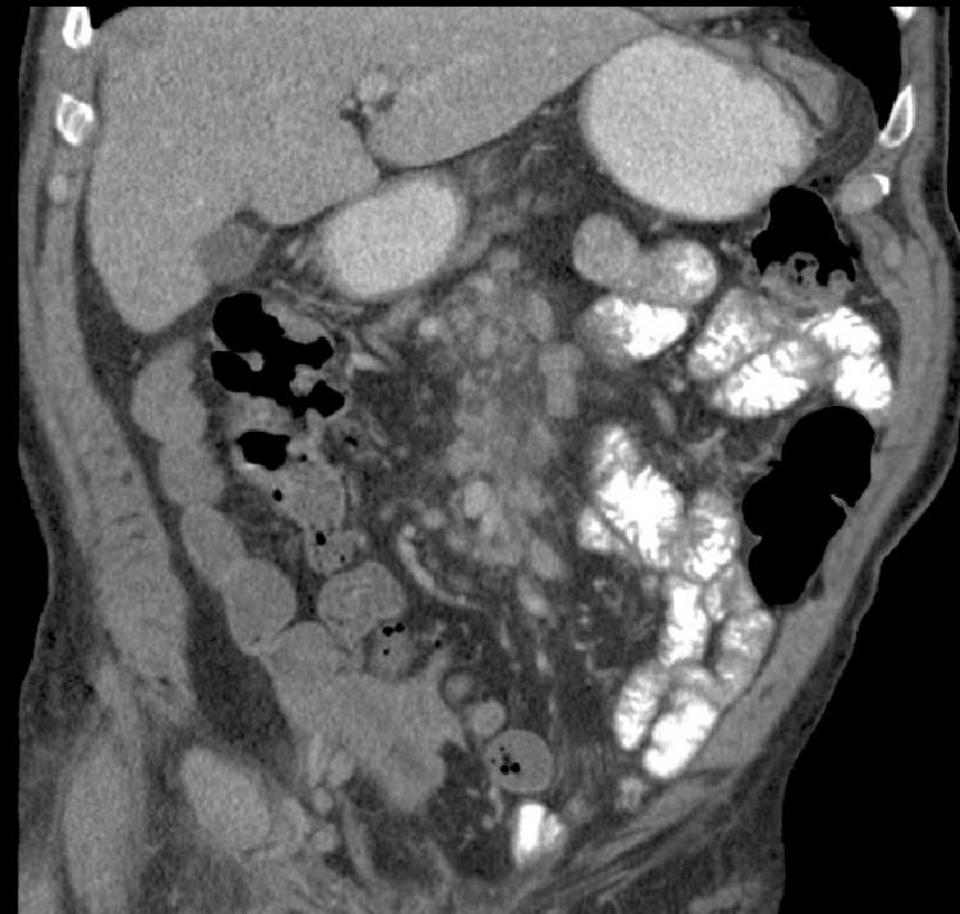
Mesenteeriumi muutused



loodlood

SA PERH

Mesenteriaalsed muutused



SA PERH

Astsiit

- Vedeliku hulga suurenemine intraperitoneaalsel (N 50 – 100 ml vedelikku)
- Sagedasemad astsiidi põhjused (90%)
 - Maksatsirroos – 75%
 - Maliigne protsess – 10%
 - Südamepuudulikkus – 5 %
- Vedeliku hulga suurenemise patogenees
 - Kapillaarse läbitavuse tõus
 - Vedeliku produktsiooni suurenemine
 - Absorptsiooni häired
 - Lümfiteede oklusioon

Astsiit

- Transudaat - valku > 2,5 g/l
- Eksudaat - valku <2,5 g/l
- Sero-fibroosne 0 – 20 HU
- Hemorraagiline >25 HU
- Kuloosne < 0 HU
- Rohkelt vedelikku *bursa omentalis`es* - kahtlus kartsinomatoosile mao või pankrease tuumori puhul

Vedelik bursa omentalis`es



frontout



frontout

SA PERH

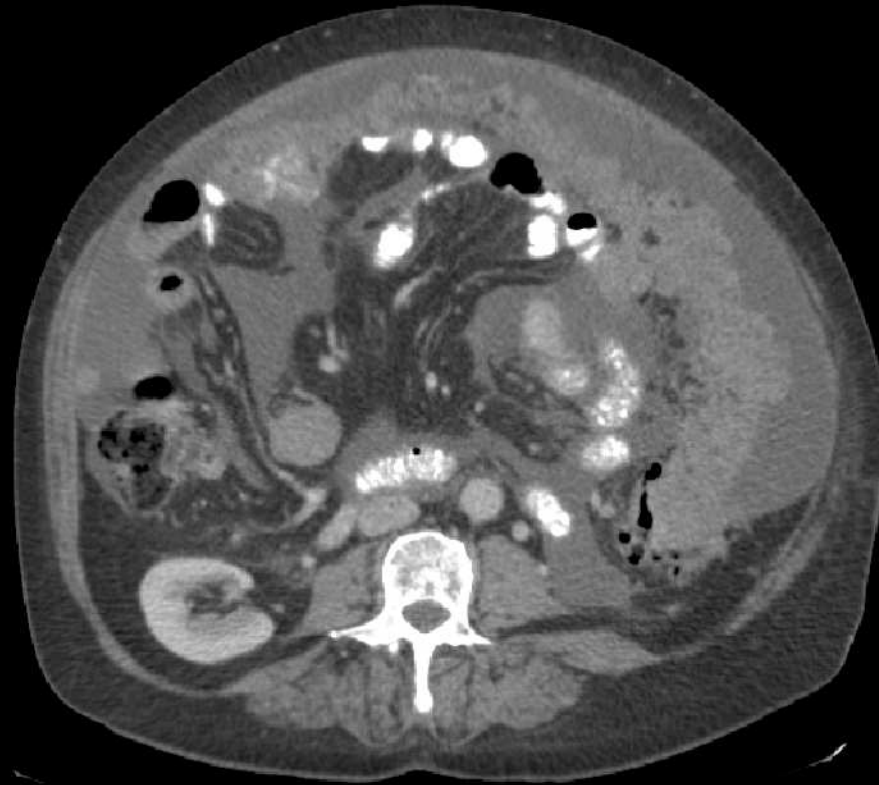
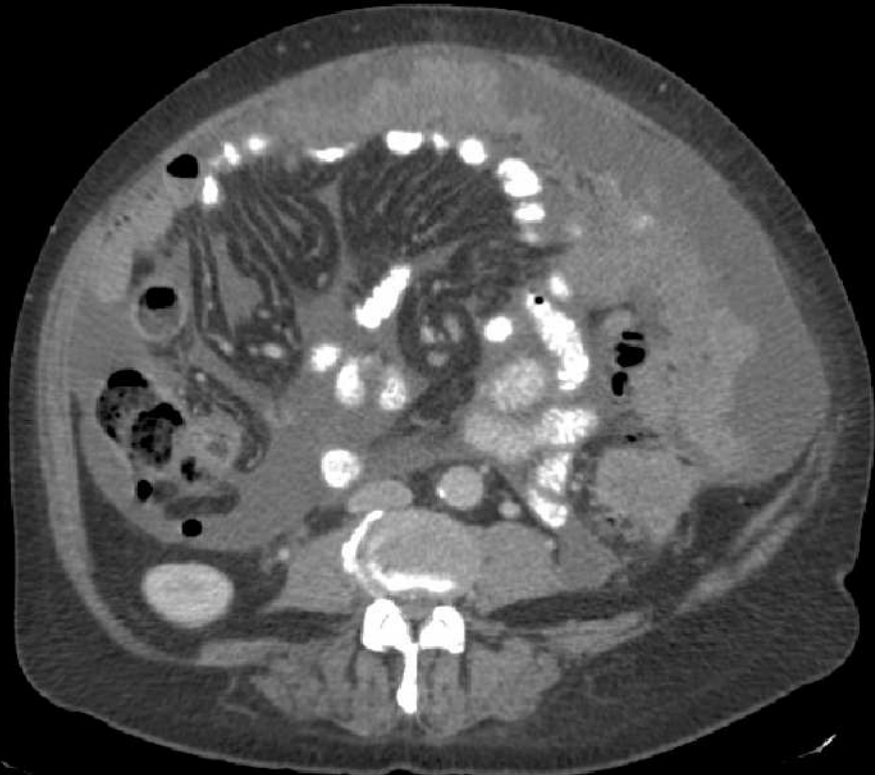
Mikrosõlmed peritoneaalpinnal

- Paremini eristatavad
 - parenhümatoossete organite siledal pinnal, võimalik sissekasv parenhüümi
 - peritoneumi tagumisel pinnal

Omental cake

- Omentum koosneb kahest mesoteliaalrakkude kihist, nende vahel arterid, veenid, lümfiteed ja rasvkude
- Definitsioon - suure rasviku nodulaarne või amorfne paksenemine
- Kontrasteerumine inhomogeenne

Omental cake



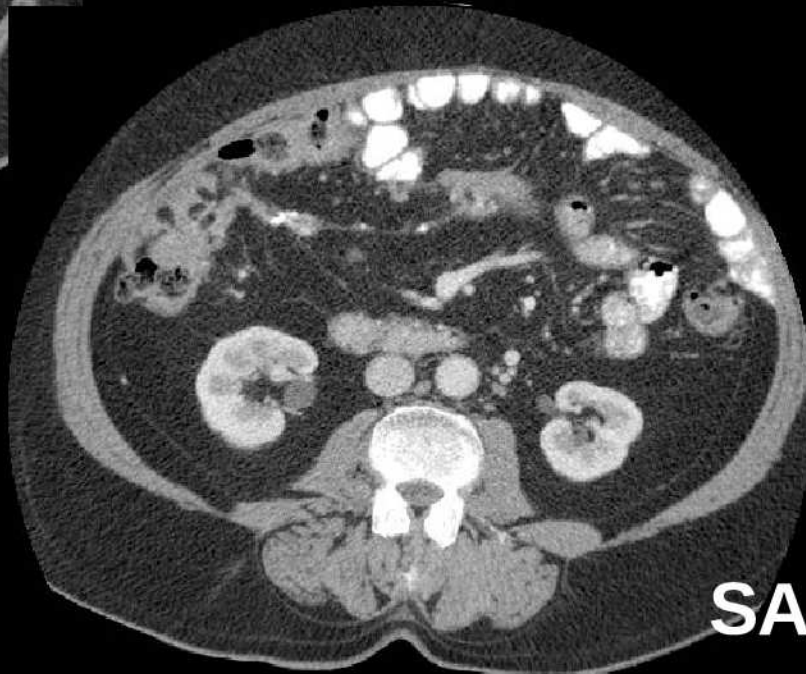
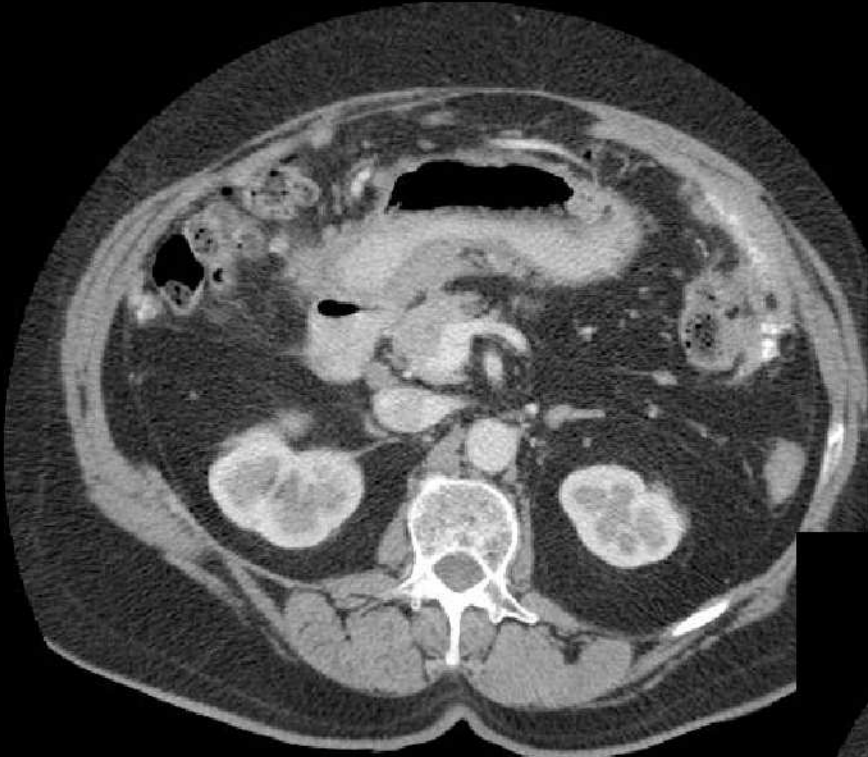
SA PERH

Omental cake



SA PERH

Peritoneeumi paksenemine



SA PERH

Diferentsiaalne diagnoos (DD)

- Tuberkuloosne peritonit
- Primaarne peritoneaalne papillaarne seroosne kartsinoom
- Peritoneaalne mesotelioom
- Peritoneaalne pseudomüksoom

DD - tuberkuloosne peritoniit

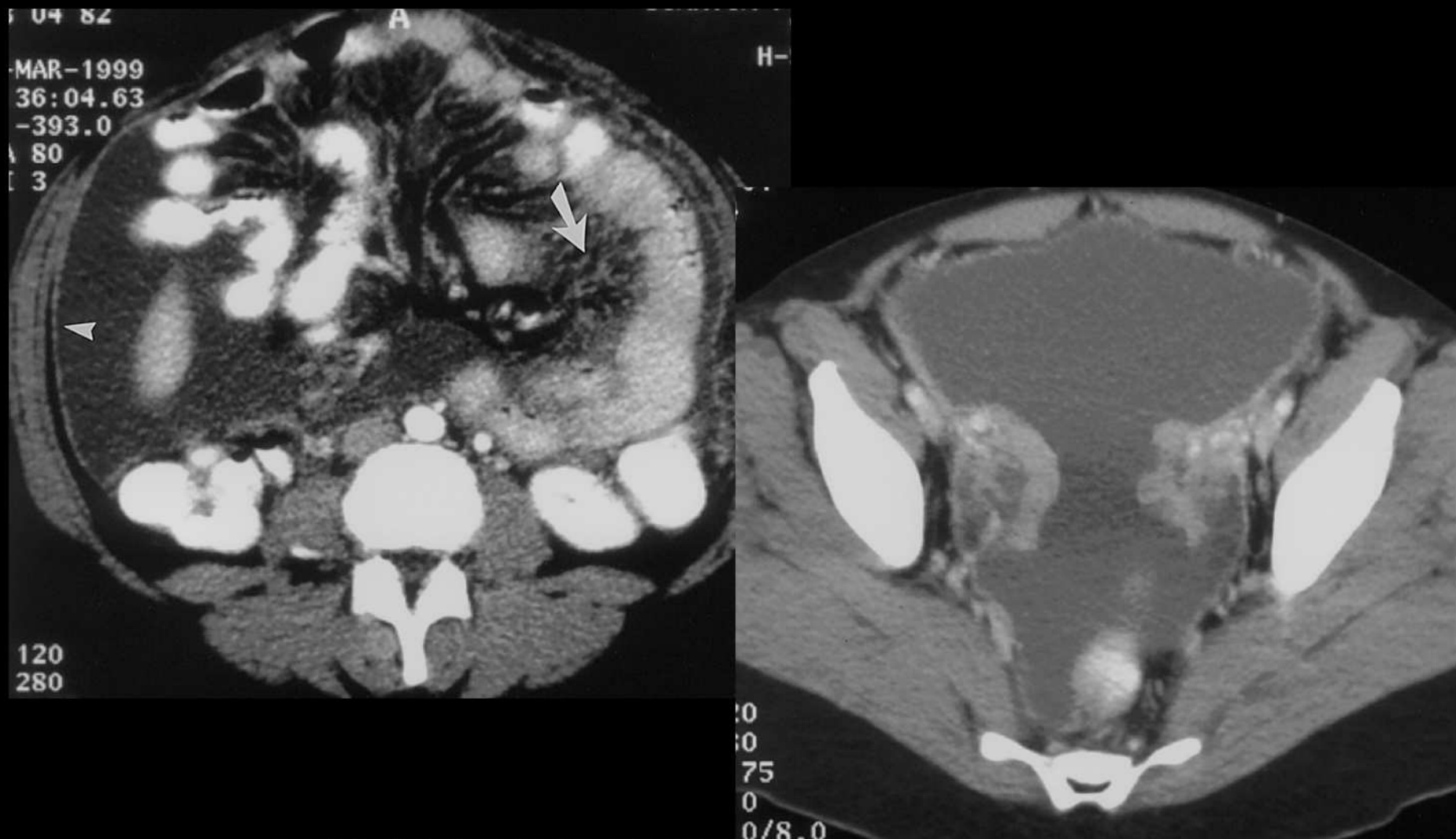
- "*wet type*" – eksudatiivne astsiit, 20–45 HU, proteiin + leukotsüüdid, vedelikku rohkelt, võib esineda lokulaarselt
- "*fibrotic-fixed type*" - ulatuslikud inhomogeensed mesenteriaalsed ja omentaalsed massid, meenutavad "*omental cake*", soolelingud fikseeritud, lokulaarne astsiit
- "*dry/plastic type*" - difuusne fibroosne peritoneaalne paksenemine, kaseoosne adenopaatia, liited

DD - tuberkuloosne peritoniit

KT leid:

- Mitmed mesenteriaalsed, retroperitoneaalsed, omentaalsed, peripankreaatilised sõlmed, ~2-3 cm suurusega
- 40% l/sõlmedest hüpodensiivsed, servmise kontrasteerumisega, kaltsifikaatidega (14%)
- Mesenteeriumi infiltratsioon
- Ileotsökaalpiirkonnas sooleseina ja klapi paksenemine, jämesoole deformatsioon, peensoole obstruktsioon
- Torakaalne leid ainult 50%

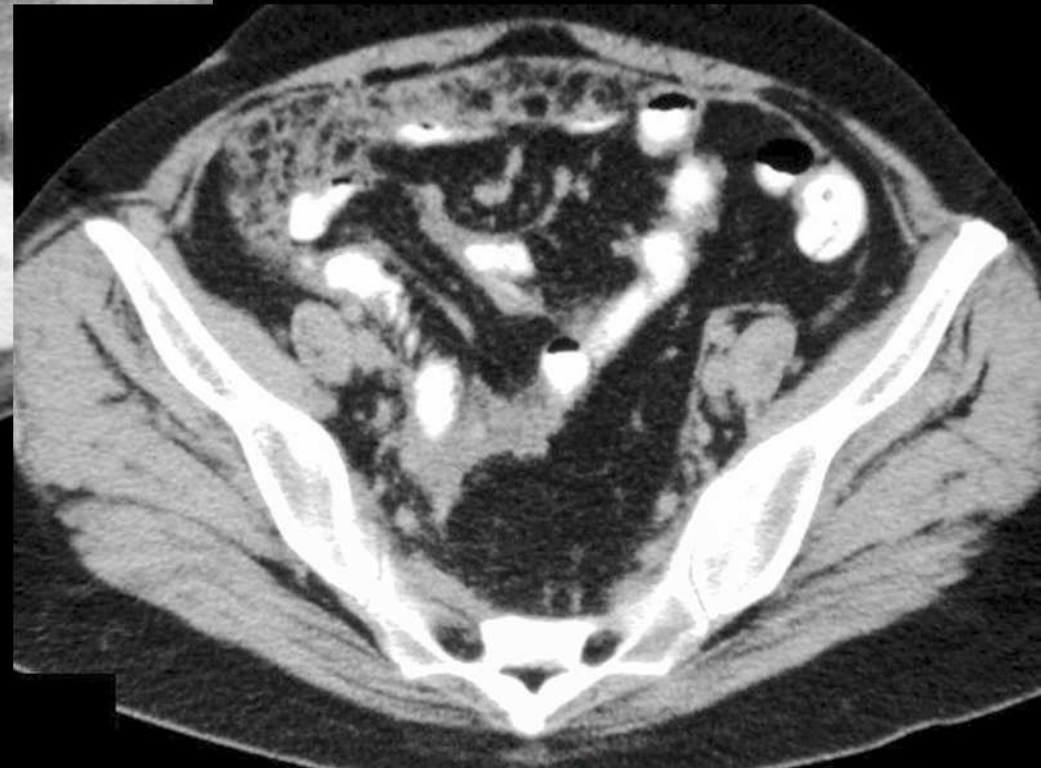
Peritoneal tuberkulos



Sheth, S. et al. Radiographics 2003;23:457-473

RadioGraphics

Tuberkuulosne peritoniit



Pickhardt, P. J. et al. Radiographics 2005;25:719-730

DD - primaarne peritoneaalne papillaarne seroosne kartsinoom

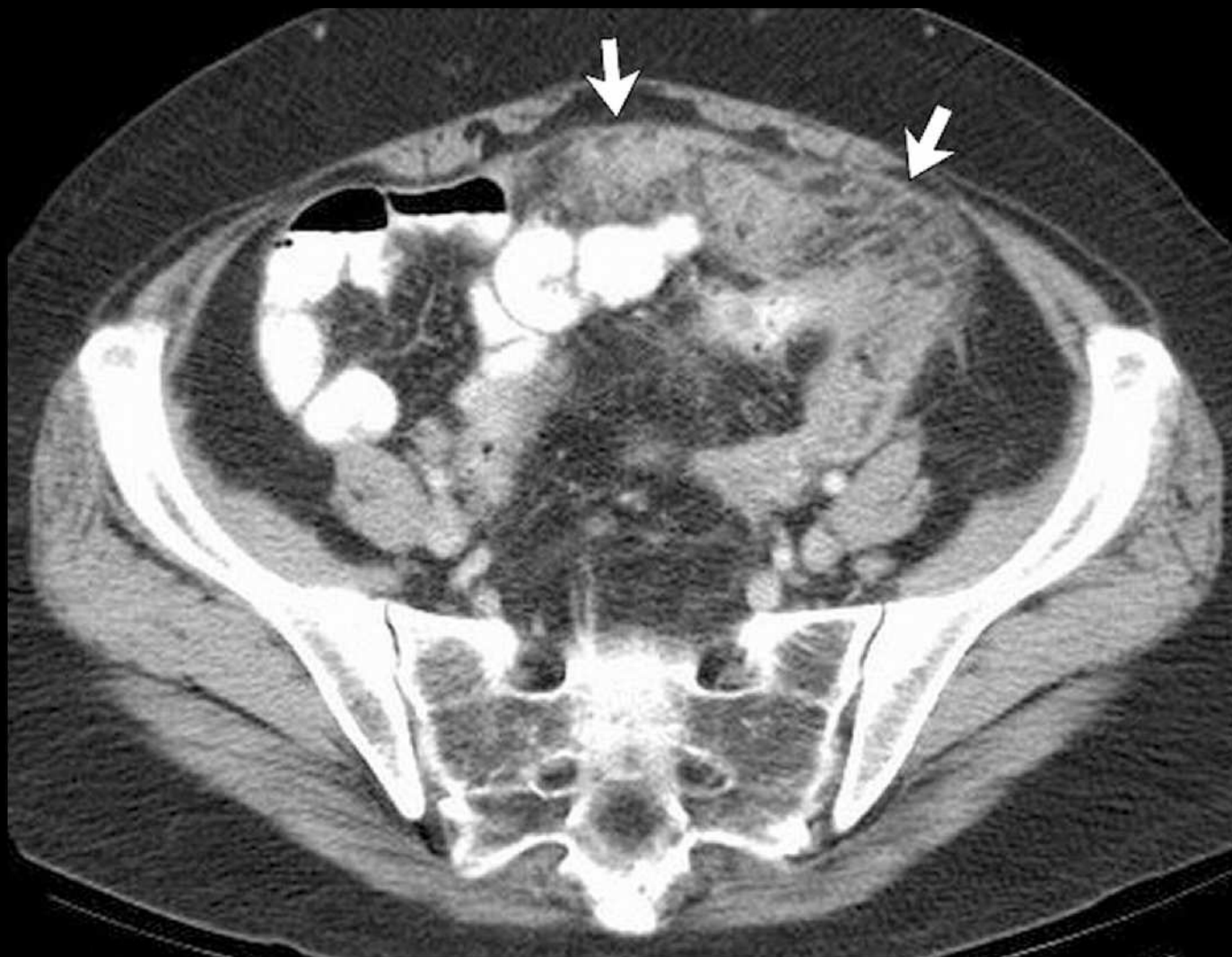
- Haruldane maliigne tuumor
- Naised postmenopausis

DD - primaarne peritoneaalne papillaarne seroosne kartsinoom

KT leid: sarnane ovariaalse protsessi metastaseerumisega

- Mitmed peritoneaalsed mts-d, ulatuslikud kaltsifikaadid, astsiit, “*omental cake*”
- Ovariaalset või GI primaarsel tuumorit – või teist võimalikku põhjust - ei leidu

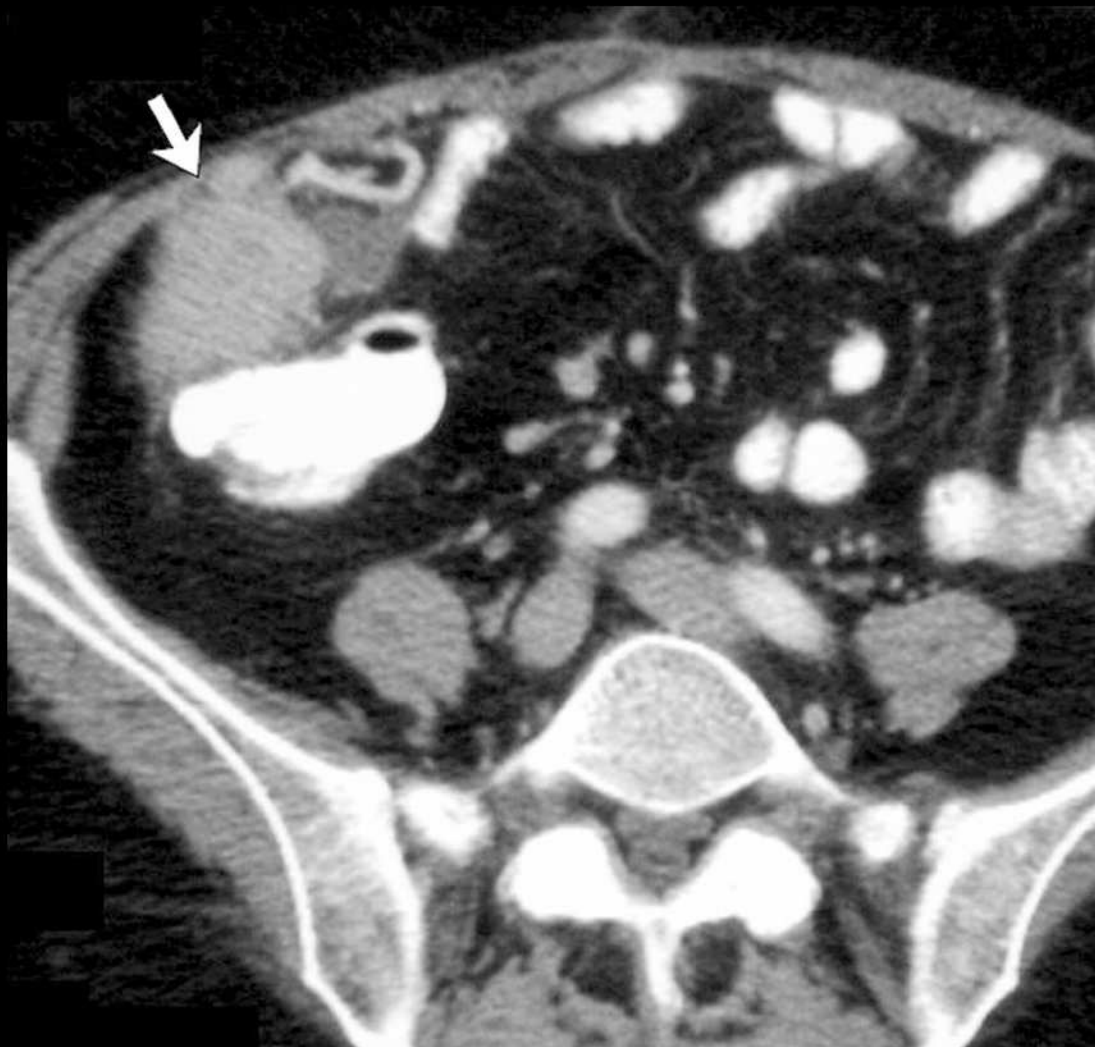
Primaarne peritoneaalne papillaarne seroosne kartsinoom



Pickhardt, P. J. et al. Radiographics 2005;25:983-995

RadioGraphics

Primaarne peritoneaalne papillaarne seroosne kartsinoom



Pickhardt, P. J. et al. Radiographics 2005;25:983-995

RadioGraphics

Metastaatiline ovariaalne papillaarne seroosne kartsinoom



Pickhardt, P. J. et al. Radiographics 2005;25:983-995

RadioGraphics

DD maliigne peritoneaalne mesotelioom

- Harva esinev agressiivne Tu
- Lähtekoht – peritoneaalne mesoteel
- 30% mesotelioomidest on peritonealsed, 70% pleuraalsed
- Vanus 55-66 a., M >> N
- Anamneesis kontakt asbestiga
- Prognoos halb, elulemus < 1 a.

DD maliigne peritoneaalne mesotelioom

KT leid:

- “dry” tüüp – laatuvad inhomogeenselt kontrasteeruvad peritoneaalsed lisamassid
- “wet” tüüp – madala tihedusega astsiit + nodulaarne või difuusne peritoneumi paksenemine
- Maksa ja põrna kontuuride lainelisus, massi-efekt
- Kaltsifitseerumine iseloomulik ei ole (erinevus pleuraasest protsessist)
- Mesenteriaalsete lestmete paksenemine

Peritoneaalne mesotelioom



Pickhardt, P. J. et al. Radiographics 2005;25:983-995

RadioGraphics

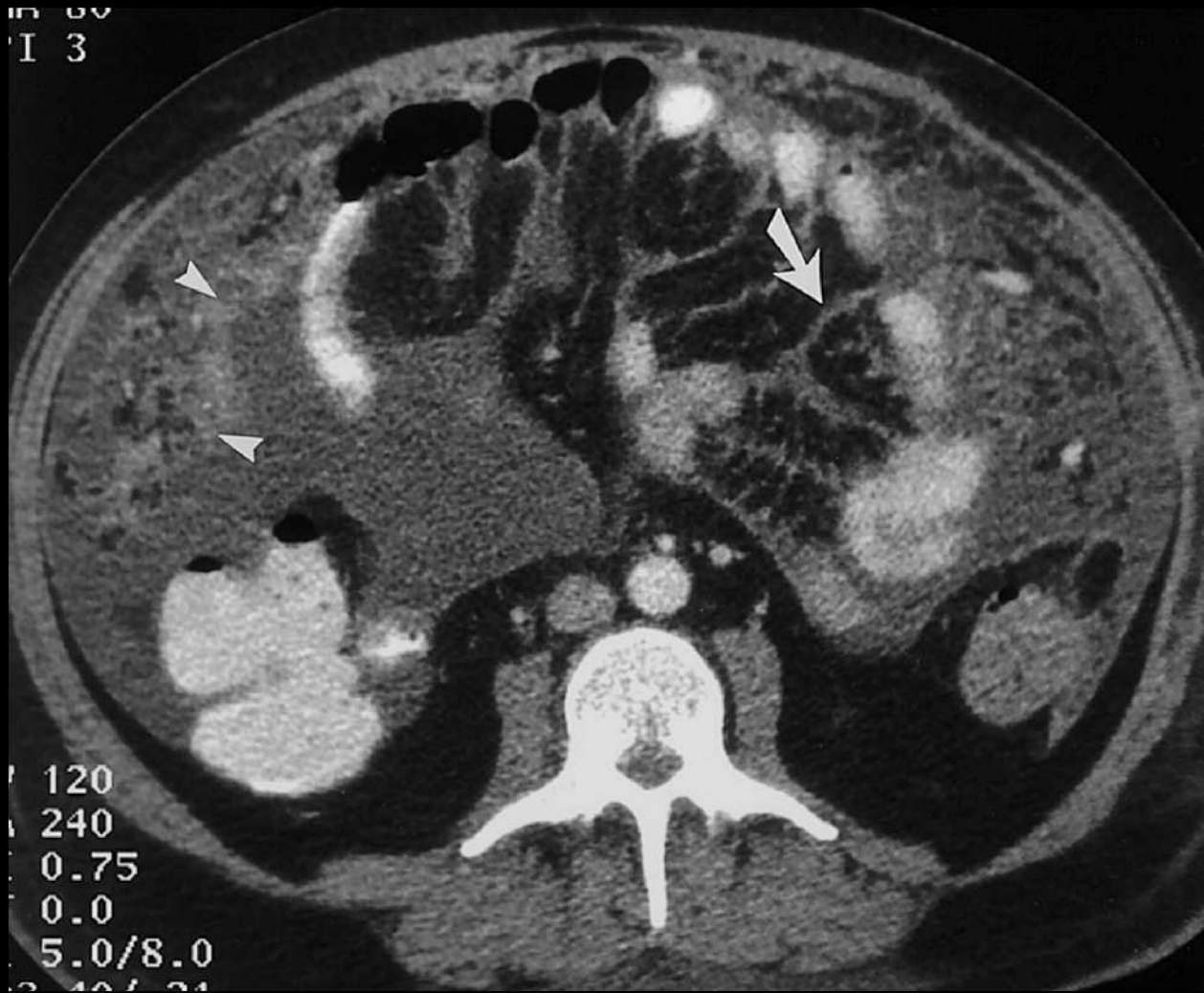
Peritoneaalne mesotelioom



Pickhardt, P. J. et al. Radiographics 2005;25:983-995

RadioGraphics

Peritoneaalne mesotelioom



Sheth, S. et al. Radiographics 2003;23:457-473

RadioGraphics

DD tsüstiline peritoneaalne mesoteloom

- Harva esinev beniigne protsess
- Lähtekoht - peritoneaalne mesoteel
- Vanus 37 a, N >> M
- Asbestiga seost ei ole
- Ei maligniseeru
- 25- 50% retsidiveeruv kulg

DD tsüstiline peritoneaalne mesotelioom

KT leid:

- Multilokulaarne tsüstiline mass
- Mitmed unilokulaarsed õhukeseseinalised tsüstdid, 1 mm–6 cm
- Tüüpiline vaagna piirkonna haaratus
- Puuduvad pehmekoeline komponent, kontrasteerumine, kaltsifikaadid ja massi-efekt

Tsustiline mesotelioom



Pickhardt, P. J. et al. Radiographics 2005;25:983-995

RadioGraphics

Tsustiline mesotelioom



Pickhardt, P. J. et al. Radiographics 2005;25:983-995

RadioGraphics

DD - peritoneaalne pseudomüksoom

= Zelatinoosne astsiit

- Zelatinoossete masside difuusne kogunemine intraperitoneaalsel
- Põhjused:
 - mukotseele leke,
 - ruptureerunud apendikulaarne või ovariaalne tsüstdadenokartsinoom
- Prognoos - 5 a. elulemus 50%

DD - peritoneaalne pseudomüksoom

KT leid:

- Intraperitoneaalsel madala tihedusega vedelikukogumikud, võimalikud kontrasteeruvad septid ja kaltsifikaadid
- Maksa ja põrna kontuurid lainelised
- Peritoneumi ja rasviku paksenemine, *omental cake*
- Soolelingud ja mesenteerium nihkunud taha
- Hematogeenne ja lümfogeenne külv atüüpiline, seega lümfadenopaatia paneb kahtlema diagnoosi õigsuses

Peritoneaalne pseudomüksoom



SA PERH

Peritoneaalne pseudomüksoom



SA PERH

Peritoneaalse kartsinomatoosi tunnused

- Astsiit
- Mesenteriaalsed muutused
 - Lümfisõlmede suurenemine
 - Mesenteriaalsete lestmete paksenemine
 - Mesenteeriumi deformatsioon
- Mikrosõlmed peritoneaalpinnal
- Suure rasviku paksenemine
 - *Omental cake*

Kasutatud kirjandus

- **Mesenteric Lymph Nodes Seen at Imaging: Causes and Significance**
Brian C. Lucey, MD, Joshua W. Stuhlfaut, MD and Jorge A. Soto, MD
- **Primary Neoplasms of Peritoneal and Sub-peritoneal Origin: CT Findings¹**
Perry J. Pickhardt, MD and Sanjeev Bhalla, MD RadioGraphics 2005;25:983-995
- **Mesenteric Neoplasms: CT Appearances of Primary and Secondary Tumors and Differential Diagnosis** Sheila Sheth, Karen M. Horton, Melissa R. Garland, and Elliot K. Fishman
RadioGraphics 2003; 23: 457.
- **Imaging Manifestations of Kaposi Sarcoma**
Carlos S. Restrepo, Santiago Martínez, Julio A. Lemos, Jorge A. Carrillo, Diego F. Lemos, Paulina Ojeda, and Prakash Koshy
RadioGraphics 2006; 26: 1169-1185.
- **Multi-Detector Row CT: Spectrum of Diseases Involving the Ileocecal Area** Christine Hoeffel, Michel D. Crema, Ahcène Belkacem, Louisa Azizi, Maité Lewin, Lionel Arrivé, and Jean-Michel Tubiana
RadioGraphics 2006; 26: 1373-1390.
- Brian C. Lucey, Joshua W. Stuhlfaut, and Jorge A. Soto
Mesenteric Lymph Nodes Seen at Imaging: Causes and Significance
RadioGraphics 2005; 25: 351-365.
- Perry J. Pickhardt and Sanjeev Bhalla
Unusual Nonneoplastic Peritoneal and Subperitoneal Conditions: CT Findings
RadioGraphics 2005; 25: 719-730.
- Angela D. Levy, Jordi Rimola, Anupamit K. Mehrotra, and Leslie H. Sabin
From the Archives of the AFIP: Benign Fibrous Tumors and Tumorlike Lesions of the Mesentery: Radiologic-Pathologic Correlation
RadioGraphics 2006; 26: 245-264.
- Perry J. Pickhardt and Sanjeev Bhalla
Primary Neoplasms of Peritoneal and Sub-peritoneal Origin: CT Findings
RadioGraphics 2005; 25: 983-995.
MR Lymphangiography: Imaging Strategies to Optimize the Imaging of Lymph Nodes with Ferumoxtran-101
- Mukesh G. Harisinghani, MD, W. Thomas Dixon, PhD, Mansi A. Saksena, MD, Elena Brachtel, MD, Daniel J. Blezek, PhD, Paritosh J. Dhawale, PhD, Maha Torabi, MD and Peter F. Hahn, MD, PhD
RadioGraphics 2004;24:867-878
- **Multidetector CT of Peritoneal Carcinomatosis from Ovarian Cancer** Harpreet K. Pannu, MD, Robert E. Bristow, MD, Frederick J. Montz, MD and Elliot K. Fishman, MD RadioGraphics 2003; 23: 687
- James M. Busch, Jonathan B. Kruskal, and Bryan Wu
Best Cases from the AFIP : Malignant Peritoneal Mesothelioma
RadioGraphics 2002; 22: 1511.